

توسعه‌ی نمودارهای کنترل ترکیبی میانگین متحرک موزون نمایی - جمع تجمعی و جمع تجمعی - میانگین متحرک موزون نمایی برای پایش میانگین فرایند براساس روش نمونه‌گیری مجموعه‌ی رتبه‌دار

عطیه محمدخانی (دانشجوی کارشناسی ارشد)

*امیرحسین امیری (دانشیار)

گروه هندسی صنایع، دانشگاه شاهد، تهران

در این نوشتار به منظور بهبود عملکرد نمودارهای کنترل ترکیبی میانگین متحرک موزون نمایی - جمع تجمعی و جمع تجمعی - میانگین متحرک موزون نمایی، از روش نوین نمونه‌گیری مجموعه‌ی رتبه‌دار به جای روش عمومی نمونه‌گیری ساده‌ی تصادفی استفاده شده است. علاوه‌بر این عملکرد نمودارهای کنترل ترکیبی پیشنهادی براساس الگوی نمونه‌گیری مجموعه‌ی رتبه‌دار با عملکرد نمودارهای کنترل کلاسیک مشابه براساس الگوی نمونه‌گیری ساده‌ی تصادفی با استفاده از شبیه‌سازی و معیار متوسط طول دنباله مقایسه شده است. نتایج نشان می‌دهد که استفاده از روش نمونه‌گیری مجموعه‌ی رتبه‌دار باعث حساسیت پیشتر نمودارهای کنترل ترکیبی در کشف تعییرات کوچک در فرایند می‌شود. همچنین عملکرد نمودارهای کنترل ترکیبی با روش نمونه‌گیری مجموعه‌ی رتبه‌دار بهتر از عملکرد نمودارهای کنترل جمع تجمعی و میانگین متحرک موزون نمایی با روش نمونه‌گیری مشابه است.

atieh.mohamadkhani@yahoo.com
amiri@shahed.ac.ir

واژگان کلیدی: کنترل فرایند آماری، نمودار کنترل میانگین متحرک موزون نمایی، نمودار کنترل جمع تجمعی، نمونه‌گیری مجموعه رتبه‌دار.

۱. مقدمه

را نظر آزمون دنباله‌ها و استفاده از حدود هشدارکه سعی در استفاده از اطلاعات تمام نقاط در تصمیم‌گیری دارند، نیز می‌توان در مورد نمودار کنترل شوهرات به کار برد. ولی استفاده از این قوانین اضافی که باعث حساس شدن نمودار کنترل شوهرات می‌شود نه تنها سادگی نمودارهای کنترل را از بین می‌برد، بلکه تعبیر و تفسیر آنها را دچار مشکل می‌کند. اخیراً فرایندهای نظارت آماری پیشرفته‌تری شامل نمودار کنترل میانگین متحرک موزون نمایی^[۱] و نمودار کنترل جمع تجمعی^[۲] توسط را بر^[۳] و پیچ^[۴] معرفی شده است. زمانی که بی‌بردن به تعییرات کوچک در فرایند مدنظر باشد از این دو نمودار کنترل استفاده می‌شود. طراحی اولیه‌ی این نمودارها با فرض متغیر بودن مشخصه‌های کیفی انجام شده است. در سال‌های اخیر بهبودها و پیشرفت‌های چشم‌گیری در ساختار هر دو نمودار کنترل میانگین متحرک موزون نمایی و کنترل جمع تجمعی به منظور افزایش کارایی این نمودارهای کنترل در تشخیص انحرافات در فرایندها صورت گرفته است. لوكاس^[۵] نمودار کنترل جدیدی را با استفاده از نمودار کنترل ترکیبی شوهرات - جمع تجمعی پیشنهاد کرد؛ در این نمودار از حدود کنترل نمودار کنترل

دو نوع انحراف در فرایند وجود دارد که در ویژگی‌های محصولات تولیدی تأثیر دارد: یکی انحرافات با علت خاص و دیگری انحرافات با علت‌های معمول رایج. یک فرایند وقتی در حالت تحت کنترل در نظر گرفته می‌شود که فقط انحرافات معمول در فرایند وجود داشته باشد. اما وجود انحراف با یک علت خاص فرایند را به حالت خارج از کنترل می‌برد. نمودارهای کنترل ابزار مناسبی برای تشخیص این دو حالت برای یک فرایند هستند. مفهوم اولیه‌ی نمودارهای کنترل در سال ۱۹۶۴ توسط والت‌شوهرات^[۶] معرفی شد. بعد از آن این مفهوم به سمت کنترل فرایند آماری امروزی هدایت شد. یکی از عمده‌ترین نقاط ضعف هر نمودار کنترل شوهرات^[۷] استفاده از اطلاعات موجود در آخرین نقطه‌ی رسم شده است. به عبارت دیگر اطلاعاتی که نقاط به طور مشترک می‌توانند منعکس کنند، نادیده گرفته می‌شوند. به همین علت نمودارهای کنترل شوهرات نسبت به بی‌بردن به وجود تعییرات کوچک در فرایند مثلاً تعییراتی به اندازه‌ی ۱/۵ انحراف معیار یا کمتر نسبتاً بی‌قاوت هستند. البته روش‌های دیگری نویسنده مسئول

* تاریخ: دریافت ۳۰ اکتبر ۱۳۹۵، اصلاحیه ۲۶، پذیرش ۱۴ اکتبر ۱۳۹۵.

DOI: 10.24200/J65.2018.5543

کنترل ارائه کرد. حق و همکاران^[۲۰] از این روش نمونه‌گیری برای طراحی نمودارهای کنترل میانگین متوجه موزون نمایی استفاده کردند.

در این نوشتار برای بهبود عملکرد نمودار کنترل تکیی میانگین متوجه موزون نمایی - جمع تجمعی و همچنین نمودار کنترل تکیی جمع تجمعی - میانگین متوجه موزون نمایی نمایی نمودارهای کنترل جدیدی برای پایش میانگین فرایند شد. نمودار کنترل جمع تجمعی با پاسخ اولیه‌ی سریع^[۲۱] توسط لوکس و MEC-RSS و MEC-RSS مشابه استایپر^[۲۲] نمودار کنترل میانگین متوجه موزون نمایی با پاسخ اولیه سریع را ارائه کرد. یا چین^[۲۳] نمودار کنترل جمع تجمعی وزنی^[۲۴] را پیشنهاد کرد، او در این نمودار به اطلاعات گذشته آمارهای نمودار کنترل جمع تجمعی وزن اختصاص داد.

۱. مشخصه‌ی کیفی مورد مطالعه تک‌متغیره است.
 ۲. مشخصه‌ی کیفی از توزیع نرمال تبعیت می‌کند.
 ۳. واریانس فرایند در طول زمان ثابت فرض شده است.
 ۴. مطالعات در فاز دو انجام می‌شود، از این رو پارامترها معلوم فرض می‌شوند.
- ساختمار ادامه‌ی این مقاله به شرح زیر است: در بخش ۲ الگوی نمونه‌گیری مجموعه‌ی رتبه‌دار معرفی شده است. در بخش ۳ نمودارهای کنترل کلاسیک MEC و MCE تشریح شده است. در بخش ۴ نمودارهای کنترل پیشنهادی MEC-RSS و MCE-RSS ارائه شده است. در بخش ۵ عملکرد نمودارهای کنترل پیشنهادی با استفاده از یک مثال عددی با نمودارهای کنترل کلاسیک میانگین متوجه موزون نمایی، جمع تجمعی میانگین متوجه موزون نمایی - جمع تجمعی و همچنین نمودارهای کنترل تکیی جمع تجمعی - میانگین متوجه موزون نمایی مقایسه شده است. یک مطالعه‌ی موردنی برای نمودارهای پیشنهادی در بخش ۶ آورده شده است. همچنین نتیجه‌گیری و پیشنهادهای آتی در بخش ۷ ارائه شده است.

۲. نمونه‌گیری مجموعه‌ی رتبه‌دار (RSS)

هنگامی که اندازه‌گیری دقیق از مشخصه‌های کیفی بسیار پرهزینه یا محصولاتی که شکست در آنها بسیار گران قیمت و ساخت آنها سخت است، مورد پایش قرار می‌گیرند الگوهای بر اساس نمونه‌گیری مجموعه‌ی رتبه‌دار کارآمدتر از الگوهای نمونه‌گیری تصادفی ساده است. یک الگوی نمونه‌گیری مجموعه‌ی رتبه‌دار بر اساس گام‌های زیر انجام می‌شود:

گام اول: m^* محصول از فرایند انتخاب می‌شود.

گام دوم: به صورت تصادفی این m^* محصول به m مجموعه با اندازه‌ی اختصاص داده می‌شوند.

گام سوم: محصولات هر مجموعه به صورت بصری یا با هر روش ارزان دیگری با توجه به مشخصه‌های کیفی مورد مطالعه رتبه‌بندی می‌شوند.

گام چهارم: از اولین مجموعه کوچک‌ترین محصول رتبه‌داده شده و از دو مین مجموعه دو مین محصول رتبه‌داده شده، و از نامین مجموعه نامین محصول رتبه‌داده شده انتخاب می‌شود. این فرایند تا اندازه‌گیری m^* امین کوچک‌ترین محصول رتبه‌داده شده از مجموعه‌ی آخر ادامه می‌یابد. این یک چرخه‌ی کامل از نمونه‌گیری مجموعه‌ی رتبه‌دار با اندازه‌ی نمونه m است.

X متغیر مورد مطالعه با تابع چگالی احتمال $f(x)$ و تابع توزیع تجمعی $F(x)$ است، همچنین میانگین و واریانس X به ترتیب برابر با μ و σ^2 است.

میانگین فرایند بر اساس روش مجموعه‌ی رتبه‌دار برای بهبود عملکرد این نمودار

جمع تجمعی برای شناسایی تعییرات کوچک در فرایند استفاده می‌شود، در حالی که حدود نمودار کنترل شوهارت حساسیت بیشتری در تشخیص تعییرات بزرگ در فرایند دارند. همچنین نمودار کنترل تکیی شوهارت - میانگین متوجه موزون نمایی توسط لوکس و ساکوچی^[۲۵] به منظور افزایش حساسیت بیشتر نمودار کنترل میانگین متوجه موزون نمایی برای تعییرات بزرگ در فرایند پیشنهاد شد. نمودار کنترل جمع تجمعی با پاسخ اولیه‌ی سریع^[۲۶] توسط لوکس و کروز بر^[۲۷] ارائه شد، و به صورت مشابه استایپر^[۲۸] نمودار کنترل میانگین متوجه موزون نمایی با پاسخ اولیه سریع را ارائه کرد. یا چین^[۲۹] نمودار کنترل جمع تجمعی وزنی^[۳۰] را پیشنهاد کرد، او در این نمودار به نظرات قرار بگیرد، ارائه کردند. شو و لین^[۳۱] مدل تعیین‌یافته‌ی از نمودارهای کنترل میانگین متوجه موزون نمایی به نام نمودار کنترل میانگین متوجه موزون عمومی^[۳۲] را برای مشخصه‌های کیفی و صفتی بر مبنای شمارش تعداد اقلام نامنطبق (با توزیع دوجمله‌ی) یا تعداد نقص‌ها در محصول بازرسی (توزیع پواسون) ارائه کردند. اسکاریانو و کالزالاد^[۳۳] نمودارهای کنترل تکیی^[۳۴] جدیدی را با یک‌چه سازی نمودارهای کنترل میانگین متوجه موزون نمایی و جمع تجمعی با نمودار کنترل اطباق طول دنباله^[۳۵] تولید کردند. این نمودارهای کنترل تکیی دامنه‌ی بیشتری از تعییرات در میانگین را تشخیص می‌دهند و برای کنترل کسر عدم اطباق در فرایند استفاده نمودار کنترل جمع تجمعی برای تعییرات کوچک و بزرگ از استفاده از همکاران^[۳۶] عملکرد نمودار کنترل میانگین متوجه موزون نمایی را با استفاده از قوانین حساس‌سازی افزایش دادند. همچنین عباس و همکاران^[۳۷] با استفاده از آماره‌ی نمودار کنترل میانگین متوجه موزون نمایی به عنوان ورودی نمودار کنترل جمع تجمعی نمودار کنترل تکیی میانگین متوجه موزون نمایی - جمع تجمعی^[۳۸] با نام اختصاری MEC را برای پایش میانگین فرایند ارائه کردند و نشان دادند این نمودار در تشخیص تعییرات کوچک فرایند عملکرد بهتری نسبت به نمودارهای کنترل کلاسیک میانگین متوجه موزون نمایی و جمع تجمعی دارد. عباسی و میلار^[۳۹] یک نمودار کنترل میانگین متوجه موزون نمایی براساس انحراف میانگین^[۴۰] را برای پایش پراکنده‌ی فرایند ارائه کردند؛ این نمودار کنترل عملکرد بهتری نسبت به نمودار کنترل انحراف میانگین برای فرایندهایی با توزیع‌های متقاضی و نامتقاضی دارد. اخیراً ریاض و همکاران^[۴۱] نمودار کنترل تکیی جمع تجمعی - میانگین متوجه موزون نمایی^[۴۲] با نام اختصاری MCE را ارائه کردند که بر عکس نمودار MEC طراحی شده است و در آن آماره‌ی نمودار کنترل جمع تجمعی ورودی نمودار کنترل میانگین متوجه موزون نمایی است.

تمرکز اصلی در طراحی نمودارهای کنترل این است که نمونه‌گیری از فرایند اقتصادی و کارآمد باشد. از روش‌های نمونه‌گیری استفاده شده در پژوهش‌ها می‌توان به روش نمونه‌گیری مجموعه‌ی رتبه‌دار^[۴۳] اشاره کرد. این روش اولین بار توسط مک ایستایر^[۴۴] ارائه شد. سال‌آغاز و سینهای^[۴۵] از این روش نمونه‌گیری برای طراحی نمودارهای کنترل استفاده کردند. آنها نشان دادند که الگوهای بر اساس نمونه‌گیری مجموعه‌ی رتبه‌دار کارآمدتر از الگوی نمونه‌گیری تصادفی ساده^[۴۶] است، وقتی که در مورد اندازه‌گیری دقیق مشخصه‌های کیفی که بسیار پرهزینه است یا در مورد محصولاتی که شکست در آنها بسیار گران قیمت و ساخت آنها سخت است بحث می‌شود. در همین راستا الصباح^[۴۷] طراحی نمودار کنترل جمع تجمعی را برای پایش میانگین فرایند بر اساس روش مجموعه‌ی رتبه‌دار برای بهبود عملکرد این نمودار

نمودار کنترل آماره‌ی نمودار کنترل کلاسیک EWMA به عنوان ورودی نمودار کنترل CUSUM درنظر گرفته می‌شود.

$$\begin{aligned} MEC_t^+ &= \max [0, (Z_t - \mu_0) - a_t + MEC_{t-1}^+] \\ MEC_t^- &= \max [0, -(Z_t - \mu_0) - a_t + MEC_{t-1}^-]. \end{aligned} \quad (8)$$

در رابطه‌ی ۸، a_t مقدار مأخذ است که وابسته به زمان است، MEC_t^+ و MEC_t^- آماره‌های CUSUM هستند که به ترتیب برای کشف تغییرات افزایشی و کاهشی استفاده می‌شوند. همچنین $Z_t = MEC_t^+ = MEC_t^- = 0$ بر اساس آماره‌ی EWMA به صورت زیر تعریف می‌شود:

$$Z_t = (1 - \lambda)Z_{t-1} + \lambda \bar{X}_t \quad (9)$$

مقدار اولیه‌ی $Z_0 = \mu_0$ است. میانگین و واریانس آماره‌ی Z_t برابر است با:

$$\begin{aligned} E(Z_t) &= \mu_0, \\ \text{Var}(Z_t) &= \frac{\sigma_0^2}{m} \left(\frac{\lambda}{2 - \lambda} (1 - (1 - \lambda)^{rt}) \right). \end{aligned} \quad (10)$$

آماره‌های MEC_t^+ و MEC_t^- در مقابل حد کنترل b_t رسم می‌شوند. تازمانی که مقادیر MEC_t^+ و MEC_t^- در داخل حد کنترل رسم شوند فرایند در حالت تحت کنترل است و در غیر این صورت فرایند خارج از کنترل اعلام می‌شود. اگر MEC_t^+ بالاتر از b_t رسم شود گفته می‌شود که میانگین فرایند به بالاتر از مقدار هدف منتقل شده است، و اگر MEC_t^- بالاتر از b_t رسم شود گفته می‌شود که میانگین فرایند به پایین تر از مقدار هدف منتقل شده است. دو مقدار a_t و b_t به صورت زیر تعریف می‌شوند:

$$\begin{aligned} a_t &= a^* \times \sqrt{\text{Var}(Z_t)} = a^* \sigma_{\bar{X}} \sqrt{\frac{\lambda}{2 - \lambda} (1 - (1 - \lambda)^{rt})} \\ b_t &= b^* \times \sqrt{\text{Var}(Z_t)} = b^* \sigma_{\bar{X}} \sqrt{\frac{\lambda}{2 - \lambda} (1 - (1 - \lambda)^{rt})}. \end{aligned} \quad (11)$$

a^* و b^* مقادیر ثابت مانند مقادیر h و k (k مقدار مأخذ و h حد کنترل) در نمودار کنترل کلاسیک CUSUM هستند. انتخاب مقادیر a^* و b^* بسیار مهم‌اند، چون تأثیر زیادی بر روی عملکرد CUSUM دارند.^[۱۲]

مقادیر a_t و b_t با توجه به واریانس آماره‌ی EWMA تعیین می‌شود. برای یک مقدار ثابت از a^* مقدار b^* را می‌توان با استفاده از شبیه‌سازی به گونه‌یی تعیین کرد که $ARL = 15$ دلخواه به دست آید. ARL متوسط طول دنباله در حالت تحت کنترل است که برای برآورد عملکرد نمودارهای کنترل استفاده می‌شود. معمولاً مقدار a^* را نصف اندازه‌ی تغییر در نظر مرمی‌گرند (برحسب انحراف Z_t).

۲.۳. نمودار کنترل کلاسیک ترکیبی MCE

نمودار کنترل CUSUM-EWMA با نام اختصاری MCE هم یک ترکیب از نمودارهای CUSUM و EWMA است. اما بر عکس الگوی MEC است؛ یعنی در این نمودار کنترل آماره نمودار کنترل کلاسیک CUSUM به عنوان ورودی نمودار کنترل MCE درنظر گرفته می‌شود. نمودار MCE می‌تواند EWMA است:

$$\begin{aligned} MCE_t^+ &= (1 - \lambda_c)MCE_{t-1}^+ + \lambda_c C_t^+ \\ MCE_t^- &= (1 - \lambda_c)MCE_{t-1}^- + \lambda_c C_t^-. \end{aligned} \quad (12)$$

است. برآورد نمونه‌گیری تصادفی ساده از μ برابر با \bar{X} است. $\text{Var}(\bar{X}) = \frac{\sigma_0^2}{m}$ باواریانس است.

$\bar{X}_{SRS} = \frac{1}{m} \sum_{i=1}^m X_i$ برابر با $X_{11}, X_{12}, \dots, X_{1m}, X_{21}, \dots, X_{2m}, \dots, X_{m1}, \dots, X_{mm}$ است.

نمونه‌گیری تصادفی ساده با اندازه‌ی هر کدام m نشان‌دهنده آماره‌ی ترتیبی نامین نمونه با استفاده از الگوی مجموعه‌ی رتبه‌دار است. آماره‌های مجموعه‌ی رتبه‌دار با $X_{i(1:m)}, X_{i(2:m)}, \dots, X_{i(m:m)}$ نشان‌دهنده‌ی نامین آماره‌ی ترتیبی از m آماره مجموعه‌ی با اندازه‌ی m است.

$f_{(i:m)}, i = 1, 2, \dots, m$ تابع چگالی احتمال نامین آماره‌ی ترتیبی از m است و به صورت زیر نمایش داده می‌شود:

$$f_{(i:m)}(x) = m \binom{m-1}{i-1} \{F(x)\}^{i-1} \{1 - F(x)\}^{m-i} f(x), \quad (1)$$

بر این اساس میانگین و واریانس $X_{(i:m)}$ برابر است با:

$$\mu_{(i:m)} = \int_{-\infty}^{+\infty} x f_{(i:m)}(x) dx \quad (2)$$

$$\sigma_{(i:m)}^2 = \int_{-\infty}^{+\infty} (x - \mu_{(i:m)})^2 f_{(i:m)}(x) dx. \quad (3)$$

در نتیجه برآورد مجموعه‌ی رتبه‌دار از میانگین جامعه برابر است با:

$$\bar{X}_{RSS} = \frac{1}{m} \sum_{i=1}^m X_{i(i:m)}, \quad (4)$$

باواریانس:

$$\text{Var}(\bar{X}_{RSS}) = \frac{1}{m^2} \sum_{i=1}^m \sigma_{(i:m)}^2 = \frac{\sigma_0^2}{m} - \frac{1}{m^2} \sum_{i=1}^m (\mu_{(i:m)} - \mu_0)^2. \quad (5)$$

μ_0 و σ_0 به ترتیب میانگین و انحراف معیار فرایند در حالت تحت کنترل هستند. تاکاهاشی و واکی موتو^[۱۱] با استفاده از رابطه‌ی $\mu = \frac{1}{t} \sum_{i=1}^t \mu_{(i:t)}$ نشان دادند که \bar{X}_{RSS} یک برآورد بدون اریب از μ_0 است:

$$E(\bar{X}_{RSS}) = \frac{1}{m} E \left(\sum_{i=1}^m X_{i(i:m)} \right) = \frac{1}{m} \left(\sum_{i=1}^m \mu_{(i:m)} \right) = \mu_0, \quad (6)$$

همچنین می‌توان رابطه‌ی ۵ را به صورت رابطه‌ی ۷ بازنویسی کرد و نشان داد که $\text{Var}(\bar{X}_{RSS}) < \text{Var}(\bar{X}_{SRS})$ است.

$$\text{Var}(\bar{X}_{RSS}) = \text{Var}(\bar{X}_{SRS}) - \frac{1}{m^2} \sum_{i=1}^m (\mu_{(i:m)} - \mu_0)^2. \quad (7)$$

۳. نمودارهای کنترل ترکیبی کلاسیک موجود MEC و MCE

نمودار کنترل ترکیبی کلاسیک MCE و MCE-CUSUM-EWMA با نام MEC با انگیزه‌ی پهلوی حساسیت نمودارهای کنترل به خصوص برای کشف تغییرات کوچک در فرایند ارائه شده است. در این

مقدار \bar{X}_{RSS} برابر با میانگین نمونه بر اساس نمونه‌گیری RSS است. مقدار اولیه $Z_{RSS,t} = \bar{X}_{RSS,t}$ است. میانگین و واریانس آماره $Z_{RSS,t}$ برابر است با:

$$E(Z_{RSS,t}) = \mu_0, \quad (17)$$

$$\text{Var}(Z_{RSS,t}) = \left[\frac{\lambda}{2-\lambda} \left(1 - (1-\lambda)^t \right) \right] \text{Var}(\bar{X}_{RSS,t})$$

$$\text{Var}(\bar{X}_{RSS,t}) = \text{Var}(\bar{X}_{RSS}) = \frac{\sigma^2}{m} - \frac{1}{m^2} \sum_{i=1}^m (\mu_{(i:m)} - \mu_0)^2. \quad (18)$$

آماره‌های $MEC_{RSS,t}^+$ و $MEC_{RSS,t}^-$ در مقابل حد کنترلی b_t' رسم می‌شوند. دو مقدار a_t' و b_t' به صورت زیر تعریف می‌شوند:

$$a_t' = a'^* \times \sqrt{\text{Var}(Z_{RSS,t})} \\ b_t' = b'^* \times \sqrt{\text{Var}(Z_{RSS,t})}. \quad (19)$$

* و ' مقادیر ثابت مانند مقادیر h و k (مقدار مأخذ و h حد کنترل) در نمودار کنترل کلاسیک CUSUM هستند. مقادیر a_t' و b_t' با توجه به واریانس آماره‌ی EWMA-RSS اختیار می‌شوند. برای یک مقدار ثابت از * a' مقدار * b' را می‌توان با استفاده از شبیه‌سازی به گونه‌ی تعبین کرد که ARL دلخواه به دست آید. معمولاً مقدار * a' را نصف اندازه‌ی تغییر در رندر می‌گیرند. در این مقاله مقدار ۰،۵ در نظر گرفته شده است؛ زیرا باعث حساسیت بیشتر نمودار کنترل CUSUM به خصوص برای تغییرات کوچک می‌شود.^[۲]

۲.۴. نمودار کنترل ترکیبی MCE با الگوی نمونه‌گیری RSS (MCE-RSS)

در این بخش نمودار کنترل ترکیبی CUSUM-EWMA با الگوی نمونه‌گیری مجموعه‌ی رتبه‌دار با نام اختصاری MCE-RSS به منظور افزایش کارایی نمودار کلاسیک CUSUM-EWMA ارائه شده است. در این نمودار کنترل ترکیبی آماره‌ی نمودار کنترل کلاسیک CUSUM-RSS ^[۱۹] به عنوان ورودی نمودار کنترل کلاسیک EWMA در نظر گرفته شده است.

$$MCE_{RSS,t}^+ = \lambda_c C_{RSS,t}^+ + (1-\lambda_c) MCE_{RSS,t-1}^+ \\ MCE_{RSS,t}^- = \lambda_c C_{RSS,t}^- + (1-\lambda_c) MCE_{RSS,t-1}^-. \quad (20)$$

λ_c پارامتر هموارسازی نمودار کنترل MCE-RSS است. آماره‌های $C_{RSS,t}^+$ و $C_{RSS,t}^-$ نمودار کنترل CUSUM-RSS هستند.

$$C_{RSS,t}^+ = \max [0, (\bar{X}_{RSS,t} - \mu_0) - k + C_{RSS,t-1}^+] \\ C_{RSS,t}^- = \max [0, -(\bar{X}_{RSS,t} - \mu_0) - k + C_{RSS,t-1}^-]. \quad (21)$$

مقدار مأخذ و معمولاً حدود نصف مقدار اختلاف بین مقدار μ_0 و مقدار میانگین k در حالت خارج از کنترل μ_0 انتخاب می‌شود. اگر تغییر δ در واحد انحراف معیار به صورت $\delta = |\mu_1 - \mu_0| / \delta_{\bar{X}_{RSS}}$ بیان شود آنگاه k برابر با نصف تغییر یا مقدار زیر است:

$$k = \frac{\delta}{\gamma} \sigma_{\bar{X}_{RSS}} = \frac{|\mu_1 - \mu_0|}{\gamma}, \quad (22)$$

و C_t^+ آماره‌های نمودار کنترل CUSUM کلاسیک هستند. $0 < \lambda_c < 1$ پارامتر هموارسازی است. مقدار اولیه برای آماره‌های روابط بالا برابر است با میانگین آماره‌های کلاسیک C_t^+ و $C_t^- = \mu_0$ (MCE $_t^+$ = MCE $_t^-$). میانگین واریانس آماره‌های کلاسیک در حالت تحت کنترل متغیر با زمان t هستند. زمانی که مقدار ثابت μ_0 خواهد بود. همچنین این موضوع برای واریانس C_t^+ و C_t^- نیز صادق است. برای حالت $t \rightarrow \infty$ داریم:

$$E(C_t^+) = E(C_t^-) = \mu_0$$

$$\text{Var}(C_t^+) = \text{Var}(C_t^-) = \sigma_0^2, \quad (13)$$

با استفاده از این میانگین واریانس، حد کنترل بالای نمودار کنترل MCE به صورت زیر تعریف می‌شود:

$$UCL_t = \mu_0 + L_c \sigma_0 \sqrt{\frac{\lambda_c}{2-\lambda_c} \left(1 - (1-\lambda_c)^t \right)}. \quad (14)$$

ضریب حد کنترل بالای نمودار کنترل MCE است که با استفاده از شبیه‌سازی به گونه‌ی تعریف می‌شود که ARL دلخواه به دست آید. هر تغییر در جهت مشیت با MCE $_t^+$ بررسی خواهد شد. در صورتی که مقدار MCE $_t^-$ از حد کنترل بالا بیشتر شود میانگین فرایند یک تغییر به سمت بالا خواهد داشت. به طور مشابه هر تغییر منفی توسط MCE_t^- شناسایی می‌شود. چنانچه مقدار MCE_t^- فراتر از حد کنترل بالا بود، میانگین فرایند یک تغییر به سمت پایین خواهد داشت.

۴. نمودارهای کنترل ترکیبی پیشنهادی و MCE

تحت الگوی نمونه‌گیری RSS

۱. نمودار کنترل ترکیبی MEC پیشنهادی تحت الگوی نمونه‌گیری (MEC-RSS) RSS

در این بخش نمودار کنترل ترکیبی EWMA-CUSUM(RSS) با نام اختصاری EWMA-CUSUM با هدف بهبود حساسیت نمودار کنترل ترکیبی MEC-RSS کلاسیک ارائه شده است. در این نمودار کنترل پیشنهادی آماره‌ی نمودار EWMA به عنوان ورودی نمودار کنترل CUSUM کلاسیک در نظر گرفته می‌شود.

$$MEC_{RSS,t}^+ = \max [0, (Z_{RSS,t} - \mu_0) - a'_t + MEC_{RSS,t-1}^+] \\ MEC_{RSS,t}^- = \max [0, -(Z_{RSS,t} - \mu_0) - a'_t + MEC_{RSS,t-1}^-]. \quad (15)$$

در رابطه‌ی ۱۵، a'_t مقدار مأخذ وابسته به زمان است، $MEC_{RSS,t}^+$ و $MEC_{RSS,t}^-$ هستند، همچنین:

$$MEC_{RSS,0}^- = MEC_{RSS,0}^+ = 0$$

براساس آماره‌ی $Z_{RSS,t}$ EWMA-RSS مقدار ^[۱۸] Z_{RSS,t} به صورت زیر تعریف می‌شود:

$$Z_{RSS,t} = \lambda \bar{X}_{RSS} + (1-\lambda) Z_{RSS,t-1}. \quad (16)$$

جدول ۳. مقادیر ARL_0 نمودار کنترل EWMA(SRS) با $ARL_0 = 200$ تحت تغییر پله‌ی از $\mu_0 + \delta\sigma_0$ به μ_0 .

$\lambda = 0,75$	$\lambda = 0,5$	$\lambda = 0,25$	$\lambda = 0,1$	δ
$L = 2,803$	$L = 2,79$	$L = 2,683$	$L = 2,445$	
۲۰۰,۴۹	۲۰۱,۸۶	۲۰۱,۷	۲۰۱,۷۳	۰
۶۷,۲۴	۴۶,۳۲	۲۹,۷۲	۲۲,۷۱	۰,۲۵
۱۷,۵۸	۱۱,۶۶	۸,۶۵	۸,۵۲	۰,۵
۶,۶۸	۵,۰۲	۴,۶۰	۵,۲۰	۰,۷۵
۳,۴۴	۳,۰۳	۳,۱۵	۳,۷۹	۱
۱,۱۴	۱,۲۲	۱,۰۳	۲,۰۲	۲
۱,۰۰۱	۱,۰۰۳	۱,۰۱	۱,۳۵	۳

جدول ۴. مقادیر ARL_0 نمودار کنترل EWMA(RSS) با $ARL_0 = 200$ تحت تغییر پله‌ی از $\mu_0 + \delta\sigma_0$ به μ_0 .

$\lambda = 0,75$	$\lambda = 0,5$	$\lambda = 0,25$	$\lambda = 0,1$	δ
$L = 2,803$	$L = 2,79$	$L = 2,683$	$L = 2,445$	
۱۹۹,۱۴	۲۰۰,۸۰	۲۰۰,۴۱	۱۹۹,۵۳	۰
۳۲,۵۴	۲۰,۸۲	۱۳,۸۳	۱۲,۱۹	۰,۲۵
۶,۴۲	۴,۸۹	۴,۴۸	۵,۰۹	۰,۵
۲,۶۱	۲,۴۶	۲,۶۹	۳,۲۸	۰,۷۵
۱,۵۸	۱,۶۷	۲,۰۰۲	۲,۴۸	۱
۱,۰۰۶	۱,۰۰۱	۱,۰۲	۱,۳۱	۲
۱	۱	۱	۱,۰۰۲	۳

جدول ۵. مقادیر ARL_0 نمودار کنترل EWMA-CUSUM(SRS) با $ARL_0 = 200$ تحت تغییر پله‌ی از $\mu_0 + \delta\sigma_0$ به μ_0 . $a^* = 0,5$ و $ARL_0 = 200$.

$\lambda = 0,75$	$\lambda = 0,5$	$\lambda = 0,25$	$\lambda = 0,1$	δ
$b = 5,82$	$b = 8,56$	$b = 14,34$	$b = 23,4$	
۲۰۰,۳۲	۱۹۹,۷۴	۲۰۰,۶۴	۱۹۸,۷۱	۰
۲۵,۲۴	۲۲,۸۳	۲۳,۹۱	۲۶,۸۶	۰,۲۵
۸,۷۸	۹,۳۸	۱۱,۱۸	۱۴,۷۷	۰,۵
۵,۲۹	۶,۰۵	۷,۸۵	۱۱,۰۲	۰,۷۵
۳,۸۷	۴,۶۳	۶,۲۷	۹,۰۹	۱
۲,۱۰	۲,۷۳	۳,۹۴	۵,۹۴	۲
۱,۷	۲,۰۱	۳,۰۱	۴,۷۹	۳

جدول ۶. مقادیر ARL_0 نمودار کنترل EWMA-CUSUM(RSS) با $ARL_0 = 200$ تحت تغییر پله‌ی از $\mu_0 + \delta\sigma_0$ به μ_0 . $a^* = 0,5$ و $ARL_0 = 200$.

$\lambda = 0,75$	$\lambda = 0,5$	$\lambda = 0,25$	$\lambda = 0,1$	δ
$b = 5,8$	$b = 8,58$	$b = 14,37$	$b = 23,5$	
۲۰۰,۹۲	۱۹۹,۳۲	۲۰۱,۱۴	۲۰۱,۵۹	۰
۱۲,۹۲	۱۳,۰۷	۱۴,۶۰	۱۸,۲۷	۰,۲۵
۵,۱۶	۵,۹۳	۷,۷۲	۱۰,۸۷	۰,۵
۳,۳۸	۴,۱۱	۵,۶۷	۸,۳۴	۰,۷۵
۲,۵۹	۳,۲۸	۴,۶۴	۶,۹۶	۱
۱,۶۶	۲,۰۱	۳,۰۱	۴,۷۳	۲
۱,۰۰۴	۱,۹	۲,۱۵	۳,۹۵	۳

که $\sigma_{\bar{X}_{RSS}}^2$ در رابطه‌ی ۵ تعریف شده است. مقادیر اولیه برای آماره‌های رابطه‌ی MCE_{RSS}^+ با میانگین $C_{RSS,t}^+$ برابر است. $MCE_{RSS}^- = C_{RSS,t}^-$ با میانگین $C_{RSS,t}^-$ برابر است. اگر مقدار t بسیار زیاد شود ($t \rightarrow \infty$) آنگاه:

$$E(C_{RSS,t}^+) = E(C_{RSS,t}^-) = \mu_{c_{RSS}}$$

$$\text{Var}(C_{RSS,t}^+) = \text{Var}(C_{RSS,t}^-) = \sigma_{c_{RSS}}^2 \quad (23)$$

CUSUM با الگوی نمونه‌گیری RSS هستند. با استفاده از این میانگین واریانس، حد کنترل بالای نمودار کنترل MCE-RSS به صورت زیر تعریف می‌شود:

$$UCL = \mu_{c_{RSS}} + L_c \sigma_{c_{RSS}} \sqrt{\frac{\lambda}{2-\lambda} (1 - (1 - \lambda_c)^t)} \quad (24)$$

L_c ضریب حد کنترل نمودار کنترل تکیبی MCE-RSS است که با استفاده از شبیه‌سازی به گونه‌ی تعیین شده است که ARL_0 مطلوب به دست آید.

۵. مقایسه‌ی عملکرد

در این بخش عملکرد نمودارهای کنترل پیشنهادی MCE-RSS و MEC-RSS با نمودارهای کنترل کلاسیک پیشین برای پایش میانگین فرایند تحت تغییرات مختلف

(میزان تغییر در میانگین بحسب انحراف معیار) مقایسه شده است.

در این مقاله به منظور مقایسه‌ی عملکرد نمودارهای کنترل کلاسیک و نمودارهای کنترل پیشنهادی از هر دو نوع روش نمونه‌گیری تصادفی ساده و مجموعه‌ی رتبه‌دار با اندازه‌ی نمونه‌ی $m = 4$ استفاده شده و تمام مشاهدات بر اساس توزیع نرمال استاندارد تولید شده است. عملکرد هر کدام از نمودارهای کنترل بر اساس ARL_0 در حالت خارج از کنترل تحت تغییرات در حال است (مقدار میانگین از μ_0 به $\mu_0 + \delta\sigma_0$ تغییر می‌کند). مقدار ARL_0 در حالت تحت کنترل و خارج از کنترل از روش شبیه‌سازی مونت‌کارلو با استفاده از نرم افزار متلب محاسبه شده و شبیه‌سازی 50000 بار برای برآورد متوسط طول دنباله تکرار شده است.

مقدار ARL_0 نمودارهای کنترل با استفاده از مقادیر a^* در نظر گرفته شده است. همچنین برای نمودارهای کنترل تکی و ترکیبی برای با 200 در نظر گرفته شده است. نتایج به دست جمع تجمعی مقادیر مأخذ a^* و b برای $0,5$ و $0,75$ در نظر گرفته شده است. آمده برای عملکرد نمودارهای کنترل در جدول‌های ۱ تا ۸ نشان داده شده است. مقدار ARL_0 برای نمودار کنترل پیشنهادی MEC-RSS در جدول ۶ و برای نمودار کنترل MCE-RSS در جدول ۸ نشان داده شده است.

در جدول ۱ مقدار ARL_0 برای نمودار کنترل CUSUM-SRS گزارش شده است. پارامترهای نمودار کنترل CUSUM-RSS به منظور رسیدن به مقدار ARL_0 است.

جدول ۱. مقادیر ARL_0 نمودار کنترل CUSUM(SRS) با $ARL_0 = 200$ تحت تغییر پله‌ی از $\mu_0 + \delta\sigma_0$ به μ_0 .

δ	$0,25$	$0,5$	$0,75$
$h = 1,107$	$199,36$	$49,23$	$11,43$

جدول ۲. مقادیر ARL_0 نمودار کنترل CUSUM(RSS) با $ARL_0 = 200$ تحت تغییر پله‌ی از $\mu_0 + \delta\sigma_0$ به μ_0 .

δ	$0,25$	$0,5$	$0,75$
$h = 0,440$	$200,25$	$2,51$	$1,55$

در تمام تغییرات از نمودار کنترل EWMA-SRS کوچکتر است. همچنین نمودار کنترل پیشنهادی MCE-RSS در تمام تغییرات مقدار ARL کمتری از نمودار کنترل EWMA-SRS دارد. به خصوص برای مقادیر بزرگ λ عملکرد نمودار کنترل پیشنهادی MCE-RSS از نمودار کنترل EWMA-SRS بهتر است.

در جدول ۴ مقدار ARL برای نمودار کنترل EWMA-RSS نشان داده شده است. در جدول ۴ نیز برای هر مقدار ثابت λ مقدار L (ضریب حد کنترل نمودار کنترل EWMA-RSS) با استفاده از شبیه سازی به گونه‌یی تعیین شده است که ARL دلخواه حاصل شود. مقایسه‌ی نمودار کنترل پیشنهادی MEC-RSS با نمودار کنترل EWMA-RSS نشان می‌دهد که نمودار کنترل پیشنهادی در تغییرات کوچک برای مقادیر بزرگ λ عملکرد بسیار بهتری دارد. همچنین از مقایسه‌ی عملکرد نمودار کنترل پیشنهادی MCE-RSS با نمودار کنترل EWMA-RSS می‌توان نتیجه گرفت که برای تمام مقادیر λ در تغییرات بزرگ 75° $\geq \delta$ نمودار کنترل پیشنهادی عملکرد بهتری دارد.

در جدول ۵ مقدار ARL برای نمودار کنترل MEC-SRS نشان داده شده است؛ براساس مقدار ثابت $\lambda = 0,5$ برای هر مقدار λ مقدار b (حد بالای نمودار کنترل MEC-SRS) را می‌توان با استفاده از شبیه سازی به گونه‌یی تعیین کرد که ARL دلخواه به دست آید. همچنین در جدول ۷ مقدار ARL برای نمودار کنترل MCE-SRS نشان داده شده است که براساس مقدار ثابت $\lambda = 0,5$ برای هر مقدار از λ مقدار L_c (ضریب حد کنترل نمودار کنترل MEC-SRS) را می‌توان با استفاده از شبیه سازی به گونه‌یی تعیین کرد که ARL دلخواه به دست آید. از مقایسه‌ی بین این دو نمودار کنترل تکیبی با نمودارهای کنترل تکیبی پیشنهادی بر اساس الگوی نمونه‌گیری RSS می‌توان نتیجه گرفت که طراحی هر دو نوع نمودار کنترل تکیبی MEC و MCE براساس الگوی نمونه‌گیری RSS باعث بهبود چشم‌گیری در عملکرد نمودارهای کنترل تکیبی برای تمام مقادیر λ در تمام تغییرات کوچک، بزرگ و متوسط می‌شود.

جدول ۶ نشان دهنده‌ی مقدار ARL برای نمودار کنترل پیشنهادی MEC-RSS و جدول ۸ نشان دهنده‌ی مقدار ARL برای نمودار کنترل پیشنهادی MCE-RSS است. مانند نمودارهای کنترل کلاسیک پیشین برای هر مقدار از λ مقدار L (حد بالای نمودار کنترل MEC-RSS) و مقدار b (حد بالای نمودار کنترل MCE-RSS) را با استفاده از شبیه سازی می‌توان به گونه‌یی تعیین کرد که ARL دلخواه به دست آید. از مقایسه‌ی مقدار ARL خارج از کنترل برای دو نمودار پیشنهادی می‌توان نتیجه گرفت که برای تمام مقادیر λ در تغییرات $25^{\circ} \leq \delta$ عملکرد نمودار کنترل MCE-RSS از نمودار کنترل MEC-RSS بهتر است. ولی برای سایر تغییرات $\delta \geq 5^{\circ}$ عملکرد نمودار کنترل MCE-RSS بهتر است.

برای فراهم کردن یک نمای کلی برای مقایسه‌ی طرح‌های پیشنهادی و سایر نمودارهای کنترل همتای موجود، منحنی‌های ARL ترسیم شده است. سه منحنی متفاوت از نمودارها و الگوهای مطرح شده در این مقاله (با توجه به جدول‌های ۱ تا ۸) در شکل‌های ۱ تا ۳ رسم شده است.

شکل ۱ نشان دهنده‌ی تفاوت در مقدار ARL نمودارهای کنترل کلاسیک MEC-SRS و MCE-SRS با نمودارهای کنترل کلاسیک EMWA-SRS و CUSUM-SRS است. شکل ۲ مقدار ARL نمودارهای کنترل پیشنهادی MEC-RSS و CUSUM-SRS و EWMA-SRS را نشان می‌دهد. شکل ۳ نشان دهنده‌ی مقایسه‌ی ARL نمودارهای کنترل RSS با الگوی نمونه‌گیری RSS و نمودارهای کنترل پیشنهادی جدید MEC و MCE با الگوی نمونه‌گیری RSS است. با توجه به شکل ۱

جدول ۷. مقادیر ARL نمودار کنترل CUSUM-EWMA(SRS) با $\mu_0 + \delta\sigma_0$ تحت تغییر پله‌یی از μ به $\mu_0 + \delta\sigma_0$.

$\lambda = 0,75$	$\lambda = 0,5$	$\lambda = 0,25$	$\lambda = 0,1$	δ
$L = 6,66$	$L = 7,03$	$L = 6,8$	$L = 5,41$	
۱۹۹,۴۲	۱۹۸,۴۸	۲۰۱,۰۵	۲۰۰,۰۳	۰
۴۶,۰۶	۴۲,۷۸	۴۰,۶۱	۳۵,۱۵	۰,۲۵
۱۰,۹۵	۱۰,۴۶	۱۰,۱۵	۹,۶۳	۰,۵
۴,۷۶	۴,۷۹	۴,۸۲	۴,۵	۰,۷۵
۲,۹۸	۳,۰۷	۳,۲۰	۳,۳۶	۱
۱,۳	۱,۴۶	۱,۷۴	۱,۹۴	۲
۱,۰۰۵	۱,۰۲	۱,۰۸	۱,۲۶	۳

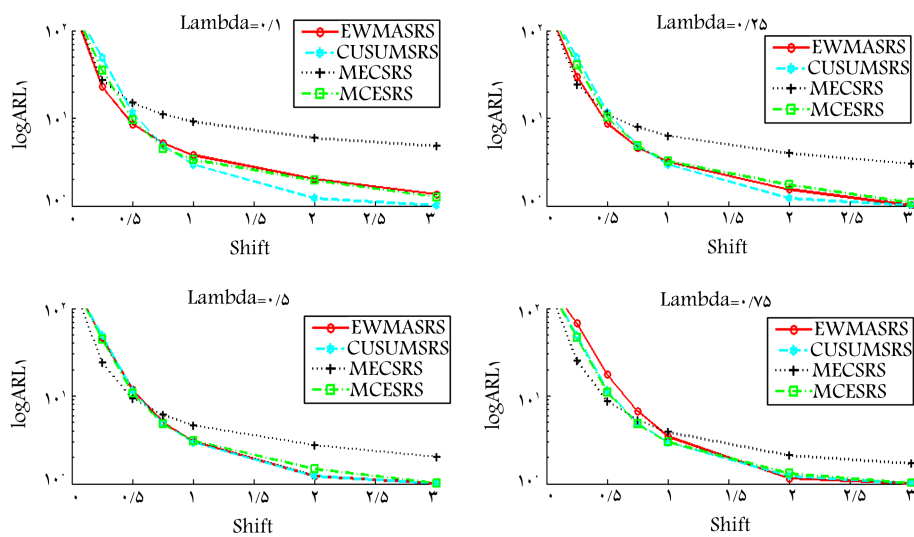
جدول ۸. مقادیر ARL نمودار کنترل CUSUM-EWMA(RSS) با $\mu_0 + \delta\sigma_0$ تحت تغییر پله‌یی از μ به $\mu_0 + \delta\sigma_0$.

$\lambda = 0,75$	$\lambda = 0,5$	$\lambda = 0,25$	$\lambda = 0,1$	δ
$L = 9,68$	$L = 9$	$L = 7,5$	$L = 5,43$	
۲۰۱,۹۷	۲۰۰,۶۸	۱۹۹,۰	۲۰۰,۶۸	۰
۳۳,۰۱	۲۹,۸۸	۲۶,۲۲	۲۲,۹۵	۰,۲۵
۶,۰۴	۵,۷۲	۵,۳۴	۵,۲۲	۰,۵
۲,۴۸	۲,۴۵	۲,۴۴	۲,۵۰	۰,۷۵
۱,۵۵	۱,۵۷	۱,۶۲	۱,۶۹	۱
۱,۰۰۱	۱,۰۰۱	۱,۰۰۱	۱,۰۰۲	۲
۱	۱	۱	۱	۳

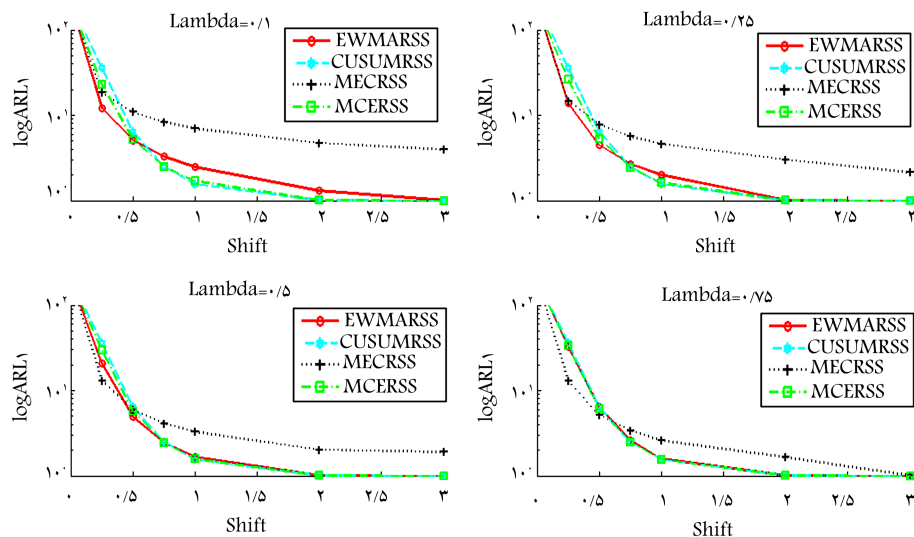
دلخواه برابر با $k = 5,0$ و $h = 7,0$ تنظیم شده است. مقایسه‌ی نمودارهای کنترل پیشنهادی با نمودار کنترل CUSUM-SRS نشان می‌دهد که نمودار کنترل پیشنهادی MCE-RSS برای تمام مقادیر λ در تمام تغییرات عملکرد بسیار بهتری نسبت به نمودار کنترل CUSUM-SRS دارد. همچنین برای تمام مقادیر λ در تغییرات کوچک $25^{\circ} \leq \delta$ مقدار ARL نمودار کنترل پیشنهادی MEC-RSS از نمودار کنترل CUSUM-SRS کمتر است.

در جدول ۲ مقدار ARL برای نمودار کنترل CUSUM-RSS نشان داده شده است. پارامترهای نمودار کنترل CUSUM-RSS به منظور دست‌یافتن به مقدار ARL دلخواه برابر با $k = 5,0$ و $h = 44,5$ قرار داده شده است. مقایسه‌ی نمودارهای کنترل پیشنهادی با نمودار CUSUM-RSS نشان می‌دهد که نمودار پیشنهادی MEC-RSS برای تمام مقادیر λ به خصوص مقادیر کوچک λ عملکرد بسیار بهتری در تغییرات کوچک $25^{\circ} \leq \delta$ دارد. از مقایسه‌ی نمودار کنترل CUSUM-RSS می‌توان نتیجه گرفت که در تمام مقادیر λ برای همه‌ی تغییرات کوچک، بزرگ و متوسط عملکرد نمودار کنترل پیشنهادی از نمودار کنترل کلاسیک LASSIK CUSUM-RSS بهتر است.

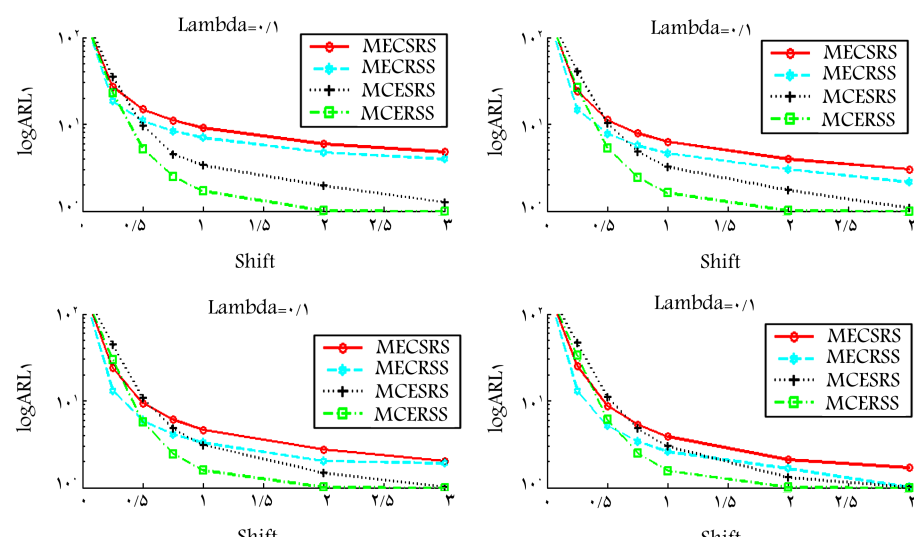
در جدول ۳ مقدار ARL برای نمودار کنترل EWMA-SRS نشان داده شده است. در جدول ۳ برای هر مقدار ثابت λ مقدار L (ضریب حد کنترل نمودار کنترل EWMA-SRS) با استفاده از شبیه سازی به گونه‌یی تعیین شده است که ARL دلخواه به دست آید. مقایسه‌ی نمودار کنترل پیشنهادی با نمودار EWMA-SRS نشان می‌دهد که نمودار کنترل پیشنهادی در تغییرات کوچک $25^{\circ} \leq \delta$ برای تمام مقادیر λ به خصوص مقادیر کوچک λ عملکرد بسیار بهتری دارد. برای مقادیر بزرگ λ مقدار ARL نمودار کنترل پیشنهادی MEC-RSS نمودار کنترل EWMA-SRS را نمای کلی برای مقایسه‌ی طرح‌های پیشنهادی و سایر نمودارهای کنترل همتای موجود، منحنی‌های ARL ترسیم شده است. سه منحنی متفاوت از نمودارها و الگوهای مطرح شده در این مقاله (با توجه به جدول‌های ۱ تا ۸) در شکل‌های ۱ تا ۳ رسم شده است.



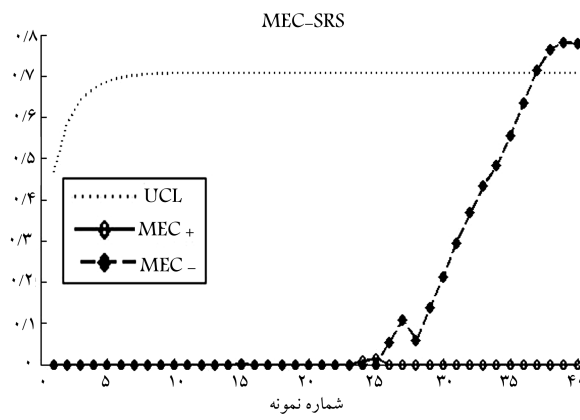
شکل ۱. منحنی $\log ARL$ برای نمودارهای $\log ARL$
 $.ARL_0 = 200$ با EWMASRS و CUSUM-SRS و MCE-SRS و MEC-SRS



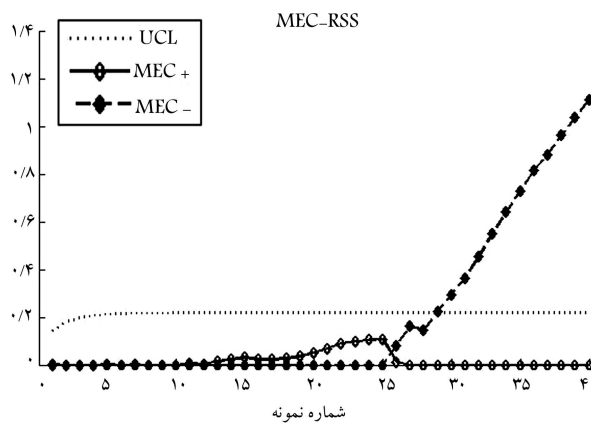
شکل ۲. منحنی $\log ARL$ برای نمودارهای $\log ARL$
 $.ARL_0 = 200$ با EWMA-RSS و CUSUM-RSS و MCE-RSS و MEC-RSS



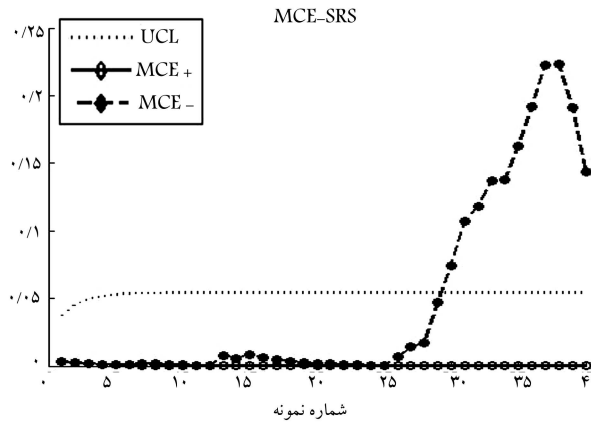
شکل ۳. منحنی $\log ARL$ برای نمودارهای $\log ARL$
 $.ARL_0 = 200$ با مقدار ثابت



شکل ۴. نمودار کنترل میانگین متغیر موزون نمایی - جمع تجمعی بر اساس الگوی نمونه‌گیری SRS با $14/41$ با $b = 14, a^* = 0, 5, k = 0, 25$ و $\lambda = 200$. $ARL_0 = 200$.



شکل ۵. نمودار کنترل میانگین متغیر موزون نمایی - جمع تجمعی بر اساس الگوی نمونه‌گیری RSS با $14/41$ با $b = 14, a^* = 0, 5, k = 0, 25$ و $\lambda = 200$. $ARL_0 = 200$.



شکل ۶. نمودار کنترل جمع تجمعی - میانگین متغیر موزون نمایی بر اساس الگوی نمونه‌گیری SRS با $6/2$ با $L = 6, 2, k = 0, 5, a^* = 0, 25$ و $\lambda = 200$. $ARL_0 = 200$.

الگوی نمونه‌گیری مجموعه‌ی رتبه‌دار نسبت به طراحی آن بر اساس الگوی نمونه‌گیری ساده‌ی تصادفی باعث افزایش حساسیت این نمودار برای کشف تغییر در فرایند می‌شود.

در مجموع بر اساس شکل‌های ۴ تا ۷ می‌توان نتیجه گرفت که نمودار کنترل پیشنهادی MCE-RSS در کشف تغییر مورد بررسی دارای بهترین عملکرد است.

زمانی که از الگوی نمونه‌گیری SRS استفاده می‌شود، برای مقادیر بزرگ λ در تغییرات کوچک نمودارهای کنترل ترکیبی MEC و MCE عملکرد بهتری از دو نمودار کنترل CUSUM و EWMA دارند. با افزایش تغییر برای تمام مقادیر λ سطح عملکرد نمودار کنترل MEC کاهش می‌یابد؛ اما نمودار کنترل MCE همچنان عملکرد نسبتاً خوبی دارد. شکل ۲ نشان‌دهنده این است که با استفاده از الگوی نمونه‌گیری RSS عملکرد نمودار کنترل ترکیبی پیشنهادی MEC برای مقادیر بزرگ λ در تغییرات کوچک بهتر از هر کدام از نمودارهای کنترل CUSUM و EWMA است. همچنین از شکل ۲ می‌توان نتیجه گرفت که برای تغییرات متوسط و بزرگ در تمام مقادیر λ عملکرد نمودار کنترل ترکیبی پیشنهادی MCE از سه نمودار کنترل دیگر بهتر است. از شکل ۳ می‌توان نتیجه گرفت که اولاً استفاده از الگوی نمونه‌گیری RSS عملکرد هردو نمودار کنترل ترکیبی MEC و MCE را افزایش می‌دهد. ثانیاً برای تمام مقادیر λ در تغییرات متوسط و بزرگ عملکرد نمودار کنترل پیشنهادی MCE-RSS از نمودار کنترل پیشنهادی MEC-RSS و نمودارهای کنترل کلاسیک MEC-SRS و MCE-SRS بسیار بهتر است. اما در تغییرات کوچک برای تمام مقادیر λ عملکرد نمودار کنترل پیشنهادی MEC-RSS از سه نمودار دیگر بهتر است.

۶. مطالعه موردنی

در این قسمت برای درک بهتر عملکرد نمودارهای کنترل پیشنهادی MEC-RSS و MCE-RSS در شرایط واقعی از یک مطالعه موردنی استفاده شده است. در این مقاله یک فرایند پخت - سخت¹⁰ که در عکاسی برای تولید نیمه‌هادی استفاده می‌شود انتخاب شده و ۵۰ نمونه هر یک با اندازه ۵ با فاصله زمانی یک ساعت از این فرایند گرفته شده است. اطلاعات کامل در ارتباط با داده‌ها در مونتگومری [۲۳] آورده شده است.

به منظور اجرای نمونه‌گیری ساده‌ی تصادفی و نمونه‌گیری مجموعه‌ی رتبه‌دار تمام این پنجاه نمونه با یکدیگر ترکیب شده است تا ۲۵۰ داده حاصل شود؛ سپس ۲۵ نمونه هر کدام با اندازه ۵ در شرایط تحت کنترل بودن فرایند و ۱۵ نمونه در شرایط خارج از کنترل بودن فرایند با یک تغییر کوچک به اندازه ۱/۰ با جایگذاری نمونه‌ها بر اساس هر دو روش نمونه‌گیری ساده تصادفی و مجموعه‌ی رتبه‌دار تولید شده است. در ادامه نمودارهای کنترل MCE-SRS, MEC-RSS, MEC-SRS, MCE-RSS برای پایش این فرایند ترکیب شده است. در تمام این نمودارها مقدار ARL در حالت تحت کنترل برابر با 200 و $\lambda = 0, 25$ است و همچنین برای نمودارهای کنترل تکی و ترکیبی جمع تجمعی مقادیر مأخذ a^* و k برابر 5 در نظر گرفته شده است.

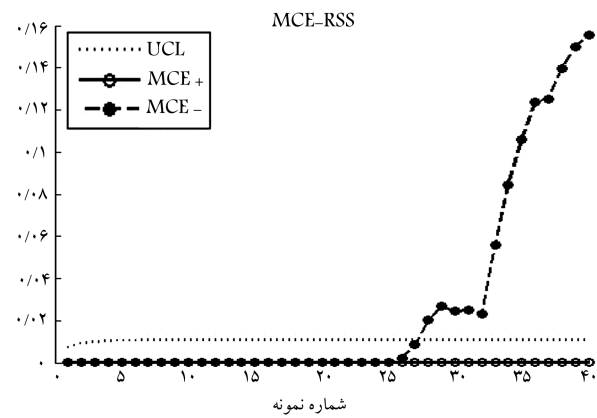
با توجه به شکل‌های ۴ و ۵، نمودار کنترل پیشنهادی MEC-RSS از نمونه ۲۹ و نمودار MEC-SRS از نمونه ۳۷ حالت خارج از کنترل را برای فرایند نشان می‌دهند. با توجه به نتایج بدست آمده از طراحی نمودار کنترل ترکیبی میانگین متغیر موزون نمایی - جمع تجمعی، استفاده از روش نمونه‌گیری مجموعه‌ی رتبه‌دار باعث افزایش حساسیت این نمودار در کشف حالت خارج از کنترل در فرایند می‌شود.

به صورت مشابه شکل‌های ۶ و ۷، نشان می‌دهند که نمودار کنترل پیشنهادی MCE-RSS از نمونه ۲۷ و نمودار کنترل MCE-SRS از نمونه ۳۰ حالت خارج از کنترل را برای فرایند نشان می‌دهند، بر این اساس می‌توان نتیجه گرفت که طراحی نمودار کنترل جمع تجمعی - میانگین متغیر موزون نمایی بر اساس

متوجه موزون نمایی - جمع تجمعی برای پایش میانگین فرایندی که مشخصه‌ی کیفی آن از توزیع نرمال پروری می‌کند، استفاده شده است. عملکرد نمودارهای کنترل پیشنهادی و نمودارهای کنترل همسان موجود بر اساس یک مثال عددی با استفاده از شبیه‌سازی مونت کارلو در نرم‌افزار متلب مقایسه شد. همچنین عملکرد نمودارهای کنترل پیشنهادی با نکنک نمودارهای کنترل کلاسیک مقایسه شد.

نتایج نشان داد که نمودارهای کنترل ترکیبی MEC و MCE در کشف تغییرات کوچک و متوسط فرایند از عملکرد مناسبی برخوردارند. علاوه بر این استفاده از الگوی نمونه‌گیری مجموعه‌ی رتبه‌دار به جای الگوی نمونه‌گیری ساده‌ی تصادفی باعث بهبود عملکرد این نمودارهای کنترل برای پایش میانگین فرایند می‌شود. در مجموع بر اساس نتایج شبیه‌سازی و مثال کاربردی می‌توان نتیجه گرفته که نمودار کنترل ترکیبی MEC-RSS در کشف تغییرات کوچک به خصوص برای مقادیر بزرگ λ عملکرد MEC-RSS بهتری در مقایسه با نمودار کنترل ترکیبی MCE-RSS و نمودارهای کنترل کلاسیک میانگین متوجه موزون نمایی و جمع تجمعی دارد؛ اما در تغییرات متوسط برای تمام مقادیر λ عملکرد نمودار کنترل ترکیبی MCE-RSS بهبود چشم‌گیری داشته است.

از آنجاکه در این مقاله نمودارهای کنترل ترکیبی بر اساس الگوی RSS برای پایش میانگین فرایند طراحی شده‌اند، برای مطالعات آتی می‌توان از نمودارهای کنترل ترکیبی بر اساس الگوی RSS برای پایش واریانس فرایند بهره برد. همچنین می‌توان نمودارهای کنترل ترکیبی MEWMA-MCUSUM و MCUSUM-MEWMA را برای پایش هم زمان میانگین چند مشخصه‌ی کیفی توسعه داد.



شکل ۷. نمودار کنترل جمع تجمعی - میانگین متوجه موزون نمایی بر اساس الگوی نمونه‌گیری RSS با $L = 6, 2, 5, k = 0, 25, \lambda = 0, 25$ و $ARL_0 = 200$.

۷. نتیجه‌گیری و پیشنهادهای آتی

به طور کلی هدف از انجام این مقاله، ارائه‌ی روش‌هایی برای بهبود عملکرد نمودارهای کنترل ترکیبی با استفاده از روش‌های نوین نمونه‌گیری به جای روش‌های ساده‌ی گذشته است. در این مقاله از روش نمونه‌گیری مجموعه‌ی رتبه‌دار به منظور طراحی دو نمودار کنترل ترکیبی جمع تجمعی - میانگین متوجه موزون نمایی و میانگین

پانوشت‌ها

1. Shewhart control chart
2. exponentially weighted moving average (EWMA)
3. cumulative sum (CUSUM)
4. fast initial response (FIR)
5. weighted
6. multivariate exponentially weighted moving average (MEWMA)
7. generally weighted moving average (GWMA)
8. synthetic charts
9. conforming run length (CRL)
10. EWMA-CUSUM
11. mean absolute deviations (MD)
12. CUSUM-EWMA
13. ranked set sampling (RSS)
14. simple random sampling (SRS)
15. average run length (ARL)
16. hard-baking

منابع (References)

1. Shewhart, W.A. "Some applications of statistical methods to the analysis of physical and engineering data", *Bell System Technical Journal*, **3**(1), pp. 43-87 (1924).
2. Roberts, S.W. "Control chart tests based on geometric moving averages", *Technometrics*, **1**(3), pp. 239-250 (1959).
3. Page, E.S. "Cumulative sum charts", *Technometrics*, **3**(1), pp. 1-9 (1951).
4. Lucas, J.M. "Combined shewhart-cusum quality control schemes", *Journal of Quality Technology*, **14**(2), pp. 51-59 (1982).
5. Lucas, J.M. and Saccucci, M.S. "Exponentially weighted moving average control schemes properties and enhancements", *Technometrics*, **32**(1), pp. 1-12 (1990).
6. Lucas, J. and Crosier, R.B. "Fast initial response for cusum quality-control scheme", *Technometrics*, **24**(3), pp. 199-205 (1982).
7. Steiner, S. "EWMA control charts with time varying control limits and fast initial response", *Journal of Quality Technology*, **31**(1), pp. 75-86 (1999).
8. Yashchin, E. "Weighted cumulative sum technique", *Technometrics*, **31**(1), pp. 321-338 (1989).
9. Linderman, K. and Love, T.E. "Economic and economic statistical designs for mewma control charts", *Journal of Quality Technology*, **32**(4), pp. 410-417 (2000).
10. Sheu, S.H. and Lin, T.C. "The generally weighted moving average control chart for detecting small shifts in the process mean", *Quality Engineering*, **16**(2), pp. 209-231 (2003).
11. Scariano, S.M. and Calzada, M.E. "The generalized synthetic chart", *Sequential Analysis: Design Methods and Applications*, **28**(1), pp. 54-68 (2009).
12. Riaz, M., Abbas, N. and Does, R.J.M.M. "Improving the performance of cusum charts", *Quality and Reliability Engineering International*, **27**(4), pp. 415-424 (2011).
13. Abbas, N. Riaz, and M. Does, R.J.M.M. "Enhancing the performance of ewma charts", *Quality and Reliability Engineering International*, **27**(6), pp. 821-833 (2011).

14. Abbas, N., Riaz, M. and Does, R.J.M.M. "Mixed exponentially weighted moving average-cumulative sum charts for process monitoring", *Quality and Reliability Engineering International*, **29**(3), pp. 345-356 (2012).
15. Abbasi, S.A. and Miller, A. "MDEWMA chart an efficient and robust alternative to monitor process dispersion", *Journal of Statistical Computation and Simulation*, **83**(2), pp. 247-268 (2013).
16. Riaz, M., Zaman, B., Abbas, N. and Does, R.J.M.M. "Mixed cumulative sum—exponentially weighted moving average control charts: an efficient way of monitoring process location", *Quality and Reliability Engineering International*, **31**(8), pp. 1407-1421 (2015).
17. McIntyre, G.A. "A method for unbiased selective sampling, using ranked sets", *Australian Journal of Agriculture Research*, **3**(4), pp. 385-390 (1952).
18. Salazar, R.D. and Sinha, A.K. "Control chart \bar{x} -bar based on ranked set sampling", *Comunicacion Tecica*, No. 1-97-09 (PE/CIMAT) (1997).
19. Al-Sabah, W.S. "Cumulative sum statistical control charts using ranked set sampling data", *Pakistan Journal of Statistics*, **26**(2), pp. 365-378 (2010).
20. Haq, A., Brown, J., Moltchanova, E. and Al-Omari, A.I. "Improved exponentially weighted moving average control charts for monitoring process mean and dispersion", *Quality and Reliability Engineering International*, **31**(2), pp. 217-237 (2015).
21. Takahasi, K. and Wakimoto, K. "On unbiased estimates of the population mean based on the sample stratified by means of ordering", *Annals of the Institute of Statistical Mathematics*, **20**(1), pp. 1-31 (1968).
22. Hawkins, D.M. and Olwell, D.H., *Cumulative Sum Charts and Charting Improvement*, Springer-Verlag, New York (2012).
23. Montgomery, D.C., *Introduction to Statistical Quality Control*, 6th Edn, John Wiley & Sons, New York (2009).